

УДК 534.13

© 1998 г. А. В. СТЕПАНОВ

## **О МАКСИМИЗАЦИИ СТЕПЕНИ УСТОЙЧИВОСТИ ПЛОСКОЙ ДВУХЗВЕННОЙ СИСТЕМЫ**

Рассматривается задача оптимизации параметров плоской системы из двух звеньев, одно из которых присоединено к неподвижной точке, а другое – к первому; одна из связей – чисто упругая с заданным коэффициентом жесткости, другая – упруговязкая. Необходимо в зависимости от геометрических и инерционных характеристик системы и коэффициента жесткости чисто упругой связи найти такие значения коэффициентов жесткости и вязкости другой из связей, чтобы максимизировать степень устойчивости системы. Эта задача может быть сведена к ранее рассмотренной автором аналогичной задаче для одномерной системы с двумя степенями свободы.

Дополнительно уточнено решение задачи максимизации минимальной из вещественных частей корней многочлена 4-й степени специального вида.

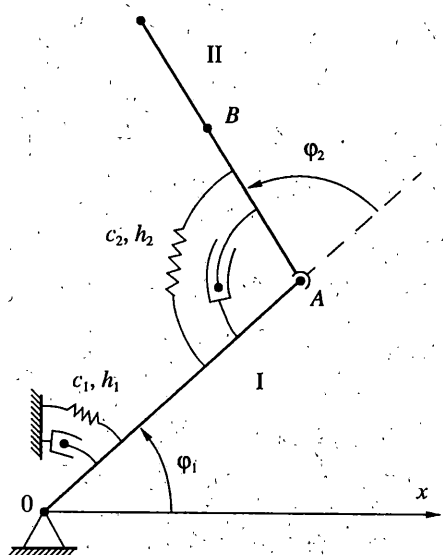
В [1] рассматривается движение плоской системы, состоящей из двух звеньев: одно из них присоединено к неподвижной точке  $O$ , другое – к первому в точке  $A$ ; оба соединения шарнирные (фиг. 1). Характеристики этой системы:  $l_1 = OA$ ,  $J_1$  – момент инерции I звена относительно точки  $O$ ,  $l_2 = AB$ , где  $B$  – центр масс II звена,  $m$  – масса этого звена,  $J_2$  – его момент инерции относительно точки  $A$ , обобщенные координаты:  $\phi_1$  – угол между неподвижной осью  $Ox$  и вектором  $OA$ ,  $\phi_2$  – угол между векторами  $OA$  и  $AB$ . Пусть I звено соединено с неподвижной плоскостью, в которой рассматривается движение, линейной упруговязкой связью с коэффициентом жесткости  $c_1$  и коэффициентом вязкого трения  $h_1$ , а со II звеном – такой же связью с параметрами  $c_2$  и  $h_2$  соответственно;  $\phi_0$  – значение угла  $\phi_2$  в положении равновесия; наконец, предположим, что сила тяжести перпендикулярна плоскости  $OAB$ . Тогда характеристическое уравнение малых свободных колебаний рассматриваемой системы имеет вид

$$\begin{vmatrix} J_{11}\lambda^2 + h_1\lambda + c_1 & J_{12}\lambda^2 \\ J_{12}\lambda^2 & J_{22}\lambda^2 + h_2\lambda + c_2 \end{vmatrix} = 0 \quad (1)$$

$$J_{11} = J_1 + J_2 + ml_1(l_1 + 2l_2 \cos \phi_0), \quad J_{12} = J_2 + ml_1 l_2 \cos \phi_0$$

где  $\lambda$  – характеристический показатель. Если  $J_{12} = 0$ , то колебания системы как твердого тела относительно точки  $O$  и II звена относительно I звена независимы.

В [1] ставится следующая задача оптимизации параметров рассматриваемой системы: в зависимости от  $J_1$ ,  $J_2$ ,  $m$ ,  $l_1$ ,  $l_2$ ,  $\phi_0$ ,  $c_1$ ,  $c_2$  найти такие  $h_1$  и  $h_2$ , чтобы максимизировать степень устойчивости системы – минимальный из декрементов затухания, со-



Фиг. 1

ответствующих всем характеристическим показателям. Введем безразмерный характеристический показатель

$$r = -\lambda \Omega^{-1}, \quad \Omega = \sqrt[4]{c_1 c_2 D^{-1}} \quad (2)$$

где  $\Omega$  – среднее геометрическое собственных частот системы без вязких элементов, а  $D = J_{11}J_2 - J_{12}^2$ . Тогда уравнение (1) может быть приведено к виду

$$\begin{aligned} r^4 - \alpha r^3 + q r^2 - \beta r + 1 &= 0 \\ \alpha &= (J_2 h_{11} + J_{11} h_2) \sqrt[4]{(D^3 c_1 c_2)^{-1}} \\ q &= (J_2 c_1 + J_{11} c_2 + h_1 h_2) \sqrt{(D c_1 c_2)^{-1}}, \quad \beta = (c_2 h_1 + c_1 h_2) \sqrt[4]{D^{-1} (c_1 c_2)^{-3}} \end{aligned} \quad (3)$$

Можно найти как функции  $q$  такие  $\alpha$  и  $\beta$ , чтобы максимизировать

$$n = \min \operatorname{Re} r_j \quad (4)$$

где  $r_j$  ( $j = 1, 2, 3, 4$ ) – корни уравнения (3), а минимум берется по всем этим корням;  $n$  – также функция  $q$  и может быть положительным, только если  $q > 2$  (это условие при  $h_1 h_2 = 0$  выполняется). Способом, аналогичным описанному в [2], можно показать, что оптимальные в указанном смысле значения  $\alpha$ ,  $\beta$  и  $n$  следующие: при  $q \leq 6$   $\alpha = \beta = 4$ ,  $n = 2 \sqrt{q^2}$  при  $q \leq 6$ :

$$\begin{aligned} n &= \left[ \frac{1}{6} (q - \sqrt{q^2 - 36}) \right]^{\frac{1}{2}} \quad \text{при } q > 6 \\ \alpha &= 3n + n^{-3}, \quad \beta = n^3 + 3n^{-1} \end{aligned} \quad (5)$$

Уравнение (4) в первом случае имеет двойные корни  $n \pm i\sqrt{1-n^2}$ , во втором – тройной  $n$  и простой  $n' = n^{-3} > n$ ; значение  $n$ , определяемое формулой (5), больше величины  $1/2(\sqrt{q-2} - \sqrt{q-6})$ , приводимой в [1].

Однако  $q$  зависит от  $h_1$  и  $h_2$ , а параметры  $\alpha$  и  $\beta$  не являются независимыми, если  $J_{2c_1} = J_{11}c_2$ . Точное решение задачи весьма сложно.

Рассмотрим более простую задачу: при  $h_1 = 0$  в зависимости от  $J_1, J_2, m, l_1, l_2, \Phi_0, c_1$  найти такие  $h_2$  и  $c_2$ , чтобы максимизировать степень устойчивости системы. Ниже будет показано, как эта задача может быть сведена к аналогичной задаче для двухмассовой системы [2], и исследована зависимость степени устойчивости от геометрических характеристик. Введем следующие безразмерные параметры ( $r$  определяется по формулам (2)):

$$\begin{aligned}\theta &= J_2 J_1^{-1}, \quad \mu_1 = l_1 R^{-1}, \quad \mu_2 = l_2 R^{-1} \cos \Phi_0 \\ R &= \sqrt{J_2 m^{-1}}, \quad \sigma = c_2 (J_2 \Omega^2)^{-1} \\ z &= h_2 (J_2 \Omega)^{-1}, \quad \Omega = \sqrt{c_1 J_1^{-1}}\end{aligned}\tag{6}$$

где  $\Omega$  – собственная частота I звена при отсутствии II звена,  $R$  – радиус инерции II звена относительно точки  $A$ . Так как момент инерции этого звена относительно точки  $B$  равен  $J_2 - ml_2^2$ , то  $R \geq l_2$  и  $|\mu_2| \leq 1$  (равенства достигаются, если вся масса II звена сосредоточена в точке  $B$ , а второе – если, кроме того,  $\Phi_0 = 0$  или  $\pi$ ). В этих параметрах уравнение (1) имеет вид

$$\gamma_1^{-2} r^4 - \gamma_2^2 z r^3 + (1 + \gamma_2^2 \sigma) r^2 - z r + \sigma = 0\tag{7}$$

$$\begin{aligned}\gamma_1 &= \sqrt{(1 + v_1 \theta)^{-1}}, \quad \gamma_2 = \sqrt{1 + v_2 \theta} \\ v_1 &= \mu_1^2 (1 - \mu_2^2), \quad v_2 = 1 + 2\mu_1 \mu_2 + \mu_1^2\end{aligned}\tag{8}$$

Для уравнения (7) надо произвести такую же оптимизацию параметров  $\sigma$  и  $z$ , как для  $\alpha$  и  $\beta$  в (3), но  $n$  (см. (4)),  $\sigma$  и  $z$  будут функциями трех параметров –  $\theta, \mu_1$  и  $\mu_2$ .

Если  $\mu_1 = 0$ , а  $\mu_2$  – произвольное, то (7) совпадает с безразмерным характеристическим уравнением двухмассовой системы. Тогда оптимальные значения параметров следующие:

$$\begin{aligned}n &= \frac{1}{2} \sqrt{\theta(1 + \theta)^{-1}}, \quad \sigma = (1 + \theta)^{-2} \\ z &= 2\sqrt{\theta(1 + \theta)^{-3}} \quad \text{при } \theta \leq 4\end{aligned}\tag{9}$$

$$\begin{aligned}n &= \left[ \left[ 2\sqrt{\theta} \sin\left(\frac{1}{3} \arcsin 2\sqrt{\theta^{-1}}\right) - 1 \right] (1 + \theta)^{-1} \right]^{1/2} \\ \sigma &= [6(1 + \theta)^4 - 3(\theta - 1)n^2 + 1][(1 + \theta)D]^{-1} \\ z &= (2n)^3 D^{-1} \quad \text{при } \theta > 4 \\ D &= 3(1 + \theta)n^2 - 1\end{aligned}\tag{10}$$

В первом из этих случаев многочлен (7) имеет пару двойных комплексно сопряженных корней:  $n \pm i\sqrt{1 - 5n^2}$ , во втором – тройной корень  $n$  и простой  $n' > n$  [2].

Если в общем случае в матрице, стоящей в левой части уравнения (1), левый верхний элемент умножить, а правый нижней элемент разделить на  $J_2 J_{12}^{-1}$ , то это уравнение будет иметь равносильный вид

$$\begin{vmatrix} (J_1' + J_{12})\lambda^2 + c_1' & J_{12}\lambda^2 \\ J_{12}\lambda^2 & J_{12}\lambda^2 + h_2'\lambda + c_2' \end{vmatrix} = 0 \quad (11)$$

$$\begin{aligned} J_1' &= J_{12}^{-1}(J_{11}J_2 - J_{12}^2), \quad c_1' = J_{12}^{-1}J_2c_1 \\ c_2' &= J_2^{-1}J_{12}c_2, \quad h_2' = J_2^{-1}J_{12}h_2 \end{aligned} \quad (12)$$

Вид (11) имеет характеристическое уравнение для системы, в которой  $\mu_1 = 0$ , моменты инерции звеньев —  $J_1'$  и  $J_{12}$ . Будем далее использовать параметры, определяемые формулами (7), и  $v = |1 + \mu_1\mu_2|$ . Собственная частота I звена

$$\Omega' = \gamma_1\Omega, \quad \Omega' = \gamma_1\Omega, \quad \theta' = J_{12}J_1'^{-1} = (v\gamma_1)^2\theta \quad (13)$$

Если  $\theta' \leq 4$  или  $\theta' > 4$ , то, подставляя эту величину вместо  $\theta$  в (9) или (10) соответственно, можно найти безразмерную степень устойчивости новой системы  $n_1$ , ее безразмерные параметры  $\sigma'$  и  $z'$ , затем  $\sigma = \gamma_1^2\sigma'$ ,  $z = \gamma_1 z'$ ,  $n = \gamma_1 n_1$ .

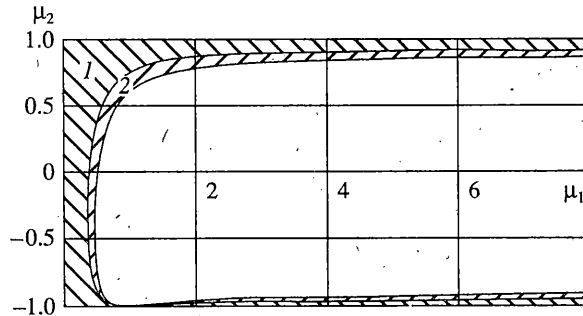
Введем еще параметры

$$\theta_1 = 4(v^2 - 4v_1)^{-1} \quad (14)$$

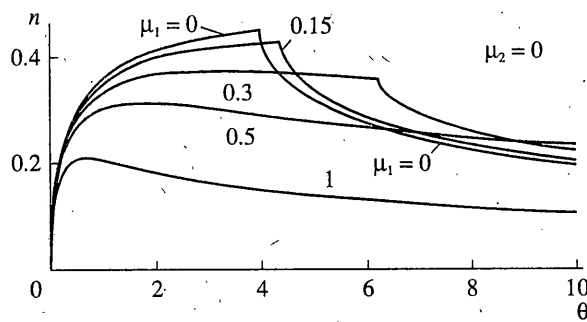
Если  $v^2 \leq 4v_1$ , то  $\theta_1 = \infty$  и  $\theta_2 = \sqrt{(v_1 v_2)^{-1}}$ . Тогда  $n_+$  (максимум  $n$  по всем  $\theta$ ) достигается при  $\theta = \min(\theta_1, \theta_2)$ . Если  $\theta_1 \leq \theta_2$ , то  $n_+ = [1/5(1 - 4v_1v^{-2})]^{1/2}$ , а если  $\theta_1 > \theta_2$ , то  $n_+ = \frac{1}{2}(\sqrt{v_2} - \sqrt{v_1})v^{-1}$  (при  $v = 0$   $n_+ = 0$ ). Только во втором случае указанный максимум получается гладким. На фиг. 2 изображены области где  $\theta_1 < \theta_2 - 1$  и  $\theta_2 < \theta_1 < \infty - 2$ . Границы второй из них описываются одним и тем же уравнением  $(1 + \mu_1\mu_2)^2 - \xi\mu_1^2(1 - \mu_2^2) = 0$ , но для внутренней границы  $\xi = 4$ , а для внешней  $\xi = \frac{1}{2}(9 + \sqrt{21}) = 6.7913$ . Если  $\mu_1 \rightarrow \infty$ , то предельные значения  $|\mu_2|$  для этих границ (как верхней, так и нижней) равны соответственно  $2/\sqrt{5} = 0.8944$  и  $\frac{1}{10}[78 + 2\sqrt{21}]^{1/2} = 0.9336$ .

При  $\mu_2 = 0$  (точки  $A$  и  $B$  совпадают или  $\phi_0 = \pm\pi/2$ ) и одном и том же  $\theta \leq 4$  степень устойчивости с ростом  $\mu_1$  уменьшается, но при больших  $\theta$  и достаточно малых  $\mu_1$  она может расти. При  $\mu_2 > 0$  и достаточно малых  $\theta$  и  $\mu_1$  с ростом последнего параметра степень устойчивости также повышается (фиг. 3, 4). Она может увеличиваться с ростом  $\mu_2$  при постоянных  $\mu_1$  и достаточно малых  $\theta$  (фиг. 5, 6), достигая максимума при  $\phi_0 = 0$ . Ни при каких  $\theta$ ,  $\mu_1$  и  $\mu_2$  не может быть  $n > 1/\sqrt{5}$ .

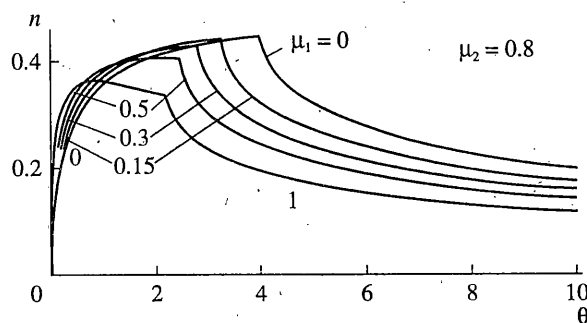
Аналогичным способом решается задача максимизации степени устойчивости системы по  $c_1$  и  $h_1$  при  $c_2 = \text{const}$ ,  $h_2 = 0$ . Обозначим через  $\Omega = \sqrt{c_2 J_2^{-1}}$  собственную час-



Фиг. 2



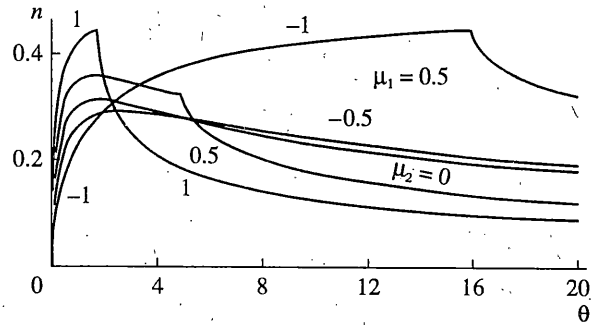
Фиг. 3



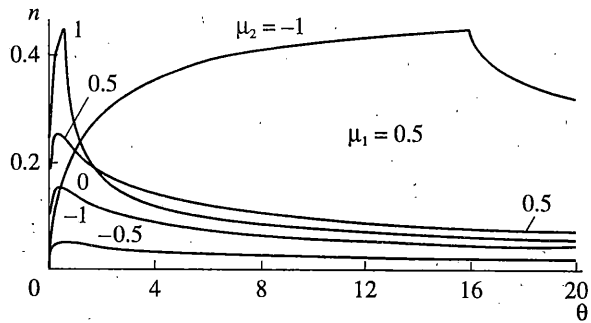
Фиг. 4

тоту II звена, если бы оно было присоединено к неподвижному основанию, введем  $\theta$ ,  $\mu_1$ ,  $\mu_2$ ,  $r$  по формулам (6) и (2), а  $\sigma = c_1(J_1\Omega^2)^{-1}$ ,  $z = h_1(J_1\Omega)^{-1}$ .

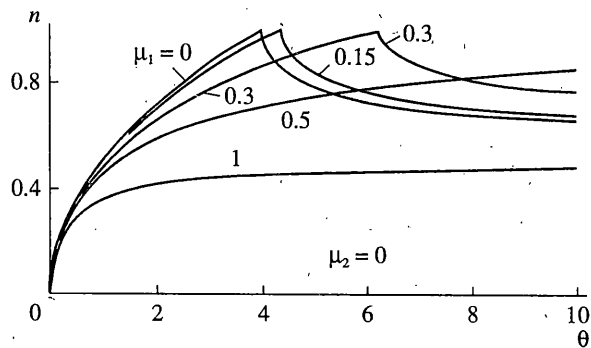
Уравнение (1) также может быть преобразовано к виду (11), где  $J_1'$  определяется формулой (12), но  $c_1' = J_{12}^{-1}J_{11}c_2$ ,  $c_2' = J_{12}^{-1}J_{12}c_1$ ,  $h_2' = J_{11}^{-1}J_{12}h_1$ .



Фиг. 5



Фиг. 6

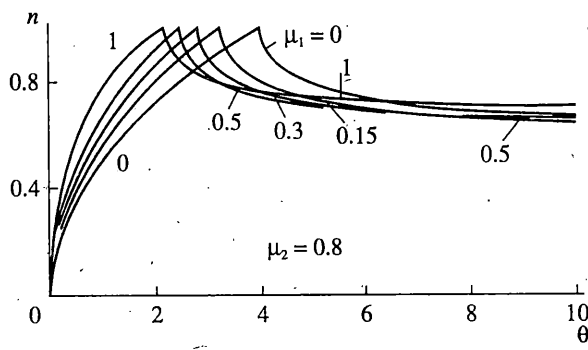


Фиг. 7

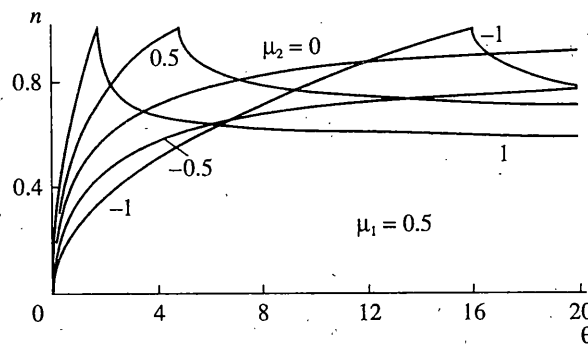
Значение  $\theta'$  определяется формулой (13), но  $\Omega' = \gamma_1 \gamma_2 \Omega$ . Величины  $n_1$ ,  $\sigma'$ ,  $z'$  находятся теми же способами, что и в предыдущей задаче, но  $\sigma = (\gamma_1 \gamma_2^2)^2 \sigma'$ ,  $z = \gamma_1 \gamma_2^3 z'$ ,  $n = \gamma_1 \gamma_2 n_1$ .

При  $\theta' \leq 4$  имеем  $n = \frac{1}{2} \sqrt{\theta'}$ . При  $\theta' \rightarrow \infty$  величина  $n$  имеет предел  $n_*$ ; если

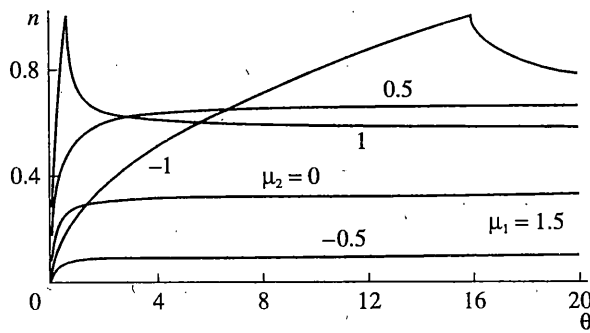
$$v_1^{-1} v^2 \leq 4 \quad (15)$$



Фиг. 8



Фиг. 9



Фиг. 10

то  $n_* = \frac{1}{2} \sqrt{\nu_1^{-1}} \leq 1$ . В этом случае  $n$  монотонно увеличивается с ростом  $\theta$ . Если условие (15) не выполняется (это имеет место в обеих заштрихованных на фиг. 2 областях), то при  $\theta = \theta_1$  (см. (14))  $n$  достигает максимального значения, равного 1, и этот максимум не является гладким (фиг. 7–10).

Качественные закономерности влияния  $\mu_1$  и  $\mu_2$  на степень устойчивости те же, что и в предыдущей задаче, но по сравнению с ней при одних и тех же  $\theta$ ,  $\mu_1$  и  $\mu_2$  значение  $n$  получается больше, так как значения  $\theta'$  совпадают, а  $\gamma_2 > 1$ .

Рассмотрим еще асимптотику  $n$  при фиксированных  $\mu_2$ ,  $\theta > 0$  и  $\mu_1 \rightarrow \infty$ . В этих условиях  $\theta' \rightarrow \mu_2^2(1 - \mu_2^2)^{-1}$ .

Если  $|\mu_2| \leq 2/\sqrt{5}$ , то  $n_1 \rightarrow \frac{1}{2}|\mu_2|$ , и в первой задаче  $n \sim |\mu_2|[2\sqrt{(1 - \mu_2^2)\theta}\mu_1]^{-1}$ , а во второй  $n \rightarrow \frac{1}{2}|\mu_2|\sqrt{(1 - \mu_2^2)^{-1}}$ .

При больших значениях  $|\mu_2|$  для первой задачи коэффициент пропорциональности при  $\mu_1^{-1}$ , а для второй задачи пределы  $n_1$  и  $n$  получаются меньше. При  $\mu_2 = 0$  в первой задаче  $n \sim (2\sqrt{\theta}\mu_1)^{-1}$ , во второй —  $n \sim (2\mu_1)^{-1}$ . При  $\mu_2$ , близких к  $\pm 1$ , соответственно  $n \sim (\sqrt{3}\theta|\mu_2|\mu_1)^{-1}$  и  $n \rightarrow (\sqrt{3}|\mu_2|)^{-1}$ .

Кроме двухзвенной системы, рассматривались и другие линейные упруговязкие системы с двумя колебательными степенями свободы, оптимизация параметров которых сводится к аналогичной задаче для двухмассовой системы [3–5].

#### СПИСОК ЛИТЕРАТУРЫ

1. Смольников Б.А. Проблемы механики и оптимизации роботов. М.: Наука, 1991. 232 с.
2. Нагаев Р.Ф., Степанов А.В. Об оптимизации коэффициента затухания свободных колебаний двухмассовой системы // Изв. АН СССР. МТГ. 1979. № 4. С. 24–28.
3. Ларин В.В. Выбор параметров системы виброзащиты приборов // Прикл. механика. 1966. Т. 2. № 6. С. 99–104.
4. Степанов А.В. Об одном способе повышения эффективности гасителей свободных колебаний // Изв. РАН. МТГ. 1994. № 6. С. 18–20.
5. Степанов А.В. Гашение свободных колебаний в подвижных упругих системах // ПММ. 1995. Т. 59. Вып. 5. С. 799–802.

С.-Петербург

Поступила в редакцию 12.III.1996